

ЦИКЛОТРОН-ФОНОННЫЙ РЕЗОНАНС В ДВУМЕРНОМ ЭЛЕКТРОННОМ ГАЗЕ

Бадалян С. М., Левинсон И. Б.

Изучен спектр циклотрон-фононного резонанса в двумерном электронном газе в квантовой яме и гетеропереходе с участием объемных и поверхностных оптических фононов. Показано, что спектр полностью определяется связанными состояниями электрона и оптического фонона.

1. *Введение.* Циклотрон-фононный резонанс (ЦФР) в полупроводниках наблюдается при оптических переходах электрона с одного уровня Ландау на другой с одновременным испусканием (или поглощением) оптического LO -фонона. В объемных образцах этот эффект хорошо изучен как теоретически, так и экспериментально (см. обзоры [1, 2]). Согласно простейшим представлениям, основанным на теории возмущений [3, 4], пики поглощения, соответствующие испусканию LO -фонона, должны наблюдаться для квантов света с энергией

$$\hbar\nu = E_{n'} - E_n + \hbar\omega_{LO}, \quad (1)$$

где E_n и $E_{n'}$ — положение дна начальной и конечной зон Ландау, $\hbar\omega_{LO}$ — энергия LO -фонона. Более строгое рассмотрение показывает [5], что пики ЦФР должны иметь тонкую структуру, обусловленную возникновением связанных состояний электрона и родившегося LO -фонона [6, 7]. Однако энергия связи W этих состояний очень мала: в магнитных полях, таких, что циклотронная частота $\omega_H = eH/mc$ порядка ω_{LO} , имеем $W \approx \alpha_{LO}^2 \hbar\omega_{LO}$, где α_{LO} — фреilihовская константа связи. (В n -InSb это дает $W \approx 0.01$ мэВ при $H = 35$ кЭ). Вероятно, поэтому связанные состояния в пиках ЦФР до сих пор экспериментально не разрешены.

Эффекты, обусловленные взаимодействием электронов на уровнях Ландау в двумерном электронном газе с LO -фононами, наблюдались в ряде работ. В инверсионных слоях InSb были обнаружены особенности ширины линии циклотронного резонанса ЦР, связанные с испусканием LO -фонона [8, 9]. В гетеропереходах и квантовых ямах GaAs/GaAlAs наблюдался магнитофононный резонанс [10]. Поэтому есть все основания полагать, что ЦФР должен наблюдаться и в $2D$ -электронном газе. С другой стороны, если магнитное поле нормально к плоскости, в которой движутся электроны, то в $2D$ -электронном газе сингулярность сильнее, чем в $3D$ -газе. В связи с этим пики ЦФР в случае $2D$ должны быть более четкими, чем в случае $3D$, а энергии связи электрона с LO -фононом — больше. В работе [11] было показано, что в $2D$ -газе при $\omega_H \approx \omega_{LO}$ энергия связи $W \approx \alpha_{LO} \hbar\omega_{LO}$; это дает $W \approx 0.5$ эВ. Все сказанное позволяет надеяться, что в $2D$ -электронном газе связанные состояния будут существенно легче обнаружить.

В двумерном электронном газе возникает также определенная специфика, связанная с локализацией оптических фононов. Мы будем рассматривать две ситуации: электроны в изолированной квантовой яме, расположенной в глубине материала, и электроны в гетеропереходе на границе двух полупроводников. LO -фононы с малыми импульсами обычно не проникают из одного материала в другой, и поэтому электроны в квантовой яме и гетеропереходе взаимодействуют только с LO -фононами того полупроводника, в котором они находятся.

Кроме LO -фононов, существуют еще поверхностные SO -фононы, электрическое поле которых сосредоточено с обеих сторон вблизи границы раздела [12]. В случае гетероперехода SO -фононы не имеют дисперсии и поэтому проявляют себя так же, как и LO -фононы. В случае квантовой ямы SO -фононы обладают сильной линейной дисперсией, размывающей сингулярность ЦФР. В этой работе такие SO -фононы не рассматриваются.

2. Коэффициент поглощения и связанные состояния. При вычислении коэффициента поглощения предполагается, что переходы происходят между уровнями Ландау, относящимися к нижнему уровню поперечного квантования, и что более высокие уровни поперечного квантования лежат очень высоко, их можно не учитывать. Электрон переходит с уровня Ландау $n=0$ на уровень $n'=1$ с испусканием фонона $\hbar\omega_0$, так что мы будем интересоваться коэффициентом поглощения для квантов света $\hbar\nu$ с энергией, близкой к $\hbar\omega_H + \hbar\nu_0 \equiv \hbar\nu_0$. (Здесь $\hbar\omega_0$ обозначает $\hbar\omega_{L\parallel}$ или $\hbar\omega_{SV}$).

Плотность носителей и температура решетки предполагаются такими, что все носители находятся на уровне $n=0$. (Емкость одного уровня Ландау с учетом двух ориентаций спина при $H=50$ кЭ составляет $2.4 \cdot 10^{11}/\text{см}^2$). Дисперсией оптических фононов, как будет показано, можно пренебречь.

Методы вычислений почти буквально следуют работе [11]. Поэтому, опуская, где это возможно, выкладки, мы сосредоточим внимание на физическом смысле результатов.

Поглощение при переходе $0 \rightarrow 1$ с испусканием фонона определяется плотностью состояний системы двух частиц: электрон на уровне $1 + \text{фонон}$. Так как дисперсией фонона пренебрегается, то обе частицы имеют бесконечную массу, и поэтому непрерывный спектр в этой системе отсутствует. Все состояния электрона и фонона являются связанными. Этим ЦФР в $2D$ -газе принципиально отличается от ЦФР в $3D$ -газе. По этой же причине коэффициент поглощения для $2D$ ЦФР не может быть вычислен по теории возмущений. Связанные состояния электрона и фонона описываются полным моментом l вращения вокруг \mathbf{H} . При этом $l=0, \pm 1, \pm 2, \dots$. Состояния с данным l нумеруются дополнительно индексом r , так что энергия связи W_r^l уменьшается с ростом r , приближаясь к нулю при $r \rightarrow \infty$. Энергия связи может быть, вообще говоря, любого знака.

Энергии связи W^l определяются из полюсов амплитуды рассеяния электрона и фонона Σ^l , уравнение для которой выведено в [11]. Это уравнение для безразмерной амплитуды рассеяния имеет следующий вид:

$$R^l(t, t') = K^l(t, t') + \lambda \int_0^\infty d\bar{t} K^l(t, \bar{t}) R^l(\bar{t}, t'), \quad (2)$$

где

$$R = -\hbar\omega_0 \Sigma^l, \quad (3)$$

$$\lambda = -2\hbar\omega_H (\epsilon - \hbar\nu_0 + i0)^{-1}, \quad (4)$$

$$K^l(t, t') = [\Phi(t) \Phi(t')]^{1/2} \sum_{s=0}^{\infty} Q_{1s}(t) Q_{1s}(t') \left\{ \frac{\sigma}{\sigma - s - 1} J_{l+s-2}(2\sqrt{tt'}) - \frac{1}{\sigma - s + 1} \right\}, \quad (5)$$

$$Q_{s,s'}(t) = (s!/s')^{1/2} t^{\frac{s-s'}{2}} e^{-\frac{t}{2}} L_{s-s'}^s(t). \quad (6)$$

Здесь ϵ — суммарная «энергия» электрона и фонона (энергия электрона отсчитывается от уровня $n=0$), параметр $\sigma = \omega_0/\omega_H = H/H_0$, J — функция Бесселя, L — присоединенный полином Лаггера, $t = a_H^2 q_{\perp}^2/2$, где a_H — магнитная длина, q_{\perp} — импульс фонона, перпендикулярный \mathbf{H} .

Множители Φ и константы связи α зависят от механизма электрон-фононного взаимодействия и характера локализации фононов. Мы ограничиваемся полярным PO -взаимодействием. Тогда для LO -фононов α есть обычная фре-лиховская константа взаимодействия:

$$\alpha_{LO} = e^2/\kappa_{LO} \nu_{LO}, \quad m\nu_{LO}^2/2 = \hbar\omega_{LO}, \quad \kappa_{LO}^{-1} = \kappa_{\infty}^{-1} - \kappa_0^{-1}, \quad (7)$$

где κ_0 и κ_∞ — низкочастотная и высокочастотная диэлектрические проницаемости. Для квантовой ямы, когда и электроны, и LO -фононы локализованы,

$$\hat{\Phi}(t) = b\delta. \quad (8)$$

Здесь $\delta = p_{LO}d/\pi$, $\hbar p_{LO} = mv_{LO}$ и b есть число порядка единицы, зависящее от степени локализации электрона и LO -фонона (при полной локализации $b \approx \approx 0.46$). В случае гетероперехода, когда локализованы только электроны, $\hat{\Phi}$ имеет такой же вид (8), меняется только значение параметра b .

Для SO -фононов на границе раздела гетероперехода матричный элемент взаимодействия с электронами может быть вычислен аналогично тому, как это сделано в работе [13]. В результате получается

$$\frac{1}{\kappa_{SO}} = \frac{2}{\omega_{SO}^2} \left[\frac{\kappa_{\infty 1} (\omega_{LO1}^2 - \omega_{TO1}^2)}{(\omega_{SO}^2 - \omega_{TO1}^2)^2} + \frac{\kappa_{\infty 2} (\omega_{LO2}^2 - \omega_{TO2}^2)}{(\omega_{SO}^2 - \omega_{TO2}^2)^2} \right]^{-1}. \quad (9)$$

Здесь индексами 1 и 2 обозначены величины, относящиеся к двум средам. Частота ω_{SO} есть корень уравнения

$$\kappa_1(\omega) + \kappa_2(\omega) = 0, \quad (10)$$

где диэлектрические проницаемости обеих сред имеют вид

$$\kappa(\omega) = \kappa_\infty \frac{\omega^2 - \omega_{LO}^2}{\omega^2 - \omega_{TO}^2}. \quad (11)$$

В этом случае

$$\hat{\Phi}(t) = \frac{1}{2} \left(\frac{\sigma}{t} \right)^{1/2}, \quad \sigma = \frac{\omega_{SO}}{\omega_H}. \quad (12)$$

Из (2) видно, что безразмерная амплитуда рассеяния R есть резольвента ядра K . Ее полюса определяются собственными значениями λ_r^l ядра K^l , так что

$$W_r^l = a\hbar\omega_H / \lambda_r^l. \quad (13)$$

Доля энергии излучения частоты ν , падающего вдоль \mathbf{H} , поглощенная $2D$ -газом, может быть вычислена так же, как в [14]. Согласно [11], она может быть представлена следующим образом:

$$w^\pm(\nu) = N \frac{e^2}{mc^2} \frac{\hbar c}{\sqrt{\kappa(\nu)}} 2\pi \sum_r f_r^\pm \pi \delta(\hbar\nu - \hbar\nu_0 + W_r^\pm). \quad (14)$$

Здесь N — число электронов на 1 см^2 на уровне $n=0$, c — скорость света в вакууме, $\sqrt{\kappa(\nu)}$ — показатель преломления на частоте ν , знаки « \pm » относятся к излучению правой и левой поляризацій. Поглощение определяется связанными состояниями с полным моментом $l = \pm 1$, f_r^\pm и W_r^\pm — соответствующие силы осцилляторов и энергии связи. Силы осцилляторов могут быть выражены через собственные функции $\chi_r^\pm(t)$ ядра $K^{\pm 1}$. Если функции χ нормированы, то

$$f_r^\pm = \alpha \frac{\omega_r}{\nu_0} \frac{\omega_H^2}{(\nu_0 \mp \omega_H)^2} \left| \int_0^\infty dt e^{-t/2} t \hat{\Phi}(t)^{1/2} \chi_r^\pm(t) \right|^2. \quad (15)$$

Для фактических оценок w надо учесть ширины уровней, т. е. размазать дельта-функции в (14). Для грубых оценок можно заменить дельта-функции в (14) на лоренцианы с (полной) шириной \hbar/τ , где τ — время релаксации, определенное из подвижности. Тогда поглощение в максимуме линии есть

$$\max w = N \frac{e^2}{mc^2} \frac{c}{\sqrt{\kappa(\nu)}} 4\pi f \tau. \quad (16)$$

3. Энергии связи и силы осцилляторов. Найти энергии связи и силы осцилляторов в общем случае не представляется возможным, поэтому мы рассмотрим отдельно сильные и слабые поля.

Сильные поля ($H \gg H_0$, $\sigma \ll 1$). В этом случае в сумме (5) следует сохранить только член $s=1$, после чего из (8) и (12) видно, что физические параметры задачи H и d входят в ядро K в виде множителя, содержащего σ и δ . Это значит, что λ_r^{\pm} пропорциональны этому множителю, а γ_r^{\pm} от него не зависят. В результате зависимость W_r^{\pm} и f_r^{\pm} от H и d легко определяется.

Применяя методы, связанные с определителями Сильвестра, можно, как и в работе [15], показать, что собственные значения λ_r^{\pm} ядер $K^{\pm 1}$ имеют чередующиеся знаки. Поэтому энергии связи W_r^{\pm} могут быть как положительными, так и отрицательными, чему соответствуют связанные состояния ниже и выше «порога» $\hbar\nu_0$ соответственно.

Для связанных состояний с LO -фононами получаем

$$|W_r^{\pm}| \simeq a\hbar\omega_0\delta\sigma^{-1}, \quad f_r^+ \simeq a\delta\sigma^{-1}, \quad f_r^- \simeq x\delta\sigma. \quad (17)$$

Для связанных состояний с SO -фононами

$$|W_r^{\pm}| \simeq a\hbar\omega_0\sigma^{-1/2}, \quad f_r^+ \simeq a\sigma^{-1/2}, \quad f_r^- \simeq a\sigma^{3/2}. \quad (18)$$

Слабые поля ($H \ll H_0$, $\sigma \gg 1$). Разлагая члены суммы (5) по σ^{-1} , покажем, что ядро можно представить в виде

$$K^{\pm 1}(t, t') = \sum_{m, m'=1}^{\infty} K_{mm'}^{\pm 1} g_m(t) g_{m'}(t'), \quad (19)$$

где

$$g_m(t) = \Phi(t)^{1/2} e^{-t/2} t^m. \quad (20)$$

Матрицы $K_{mm'}^{\pm 1}$ устроены таким образом, что если в разложении по σ^{-1} сохранить конечное число членов, то бесконечная матрица сведется к конечной, а интегральное уравнение — к конечной системе линейных уравнений. Например, в главном порядке, сохраняя только члены σ^{-1} и отбрасывая члены σ^{-2} , σ^{-3} , ..., найдем

$$\|K_{m, m'}^{\pm 1}\| = \begin{vmatrix} -3\sigma^{-1} & \sigma^{-1} \\ \sigma^{-1} & -\frac{1}{2}\sigma^{-1} \end{vmatrix}, \quad (21)$$

$$\|K_{m, m'}^{-1}\| = \|\sigma^{-1}\|.$$

В этом порядке находим два связанных состояния с $l=+1$ и одно с $l=-1$. Все они лежат выше «порога» $\hbar\nu_0$. В случае связи с LO -фононами энергии связи и силы осцилляторов таковы:

$$W_{1,2}^+ = -b(3 \pm \sqrt{3}) a\hbar\omega_0\delta\sigma^{-2}, \quad f_{1,2}^+ = ba\delta\sigma^{-2}, \quad (22)$$

$$W^- = -2b\alpha\hbar\omega_0\delta\sigma^{-2}, \quad f^- = 2b\alpha\delta\sigma^{-2}.$$

Для связи с SO -фононами

$$W_{1,2}^+ = -\frac{3}{8}\pi^{1/2} \frac{16}{19 \pm \sqrt{41}} a\hbar\omega_0\sigma^{-3/2}, \quad f_{1,2}^+ = \frac{3}{8}\pi^{1/2} \frac{\sqrt{41} \pm 1}{2\sqrt{41}} \alpha\sigma^{-1/2}, \quad (23)$$

$$W^- = -\frac{3}{8}\pi^{1/2} a\hbar\omega_0\sigma^{-3/2}, \quad f^- = \frac{3}{8}\pi^{1/2} \alpha\sigma^{-1/2}.$$

Отметим, что в обоих случаях $f_1^+ + f_2^+ = f^-$. Если сохранить члены σ^{-2} , то порядки матриц $K^{\pm 1}$ увеличатся на единицу и возникнут новые связанные состояния, для которых W и f будут более высокого порядка по σ^{-1} .

Заметим, что в слабых полях имеет место соотношение

$$f_r^{\pm} \simeq W_r^{\pm} / \hbar\omega_0. \quad (24)$$

В сильных полях такое соотношение имеет место только для правой поляризации. Для левой поляризации в сильных полях

$$j_{\vec{r}} \approx (W_{\vec{r}}/\hbar\omega_0) (H/H_0)^{-2}, \quad (25)$$

т. е. силы осцилляторов существенно слабее.

4. *Обсуждение результатов.* Изучение связанных состояний показывает, что с увеличением номера r , когда падает энергия связи $|W_r|$, одновременно падает и сила осциллятора f_r . Поэтому поглощение, даваемое формулой (14), будет сосредоточено не на пороге $\hbar\nu_0$, а выше и ниже его — на расстоянии порядка W .

В сильных полях энергия связи и сила осциллятора состояний, лежащих выше порога, того же порядка, что и состояний, лежащих ниже порога. Поэтому спектр поглощения должен состоять из двух групп пиков, примерно одинаковых по величине и примерно симметрично расположенных относительно порога. Расстояние между этими группами пиков одного порядка для правой и левой поляризаций, но величина поглощения в правой поляризации в $(H/H_0)^2$ раз больше (рис. 1).

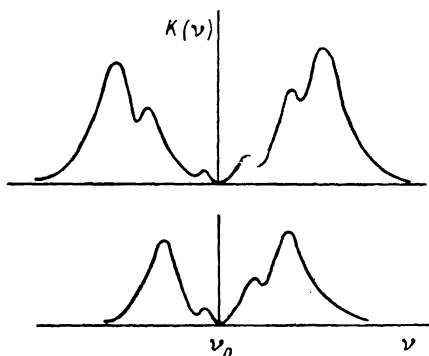


Рис. 1. Спектр ЦФР в сильном магнитном поле.

Верхний рисунок — правая поляризация, нижний — левая.

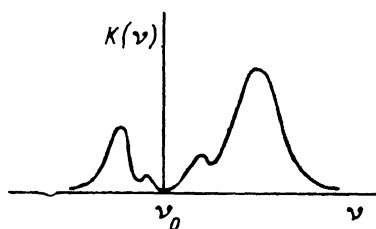


Рис. 2. Спектр ЦФР в слабом магнитном поле (обе поляризации).

В слабых полях связанные состояния с максимальными энергией связи и силой осциллятора лежат выше порога, поэтому пики ниже порога (при $\nu < \nu_0$) должны быть слабее и ближе к порогу. Однако в отличие от случая сильных полей поглощение имеет один порядок величины независимо от поляризации (рис. 2).

Сравним энергии связи для LO - и SO -фононов. Из (17), (18) и (22), (23) видно, что

$$W_{LO}/W_{SO} \approx \delta\tau^{-1/2} \approx (\hbar\omega_H/\Delta E)^{1/2} \ll 1, \quad (26)$$

где $\Delta E \approx \hbar^2/md^2$ есть расстояние между уровнями поперечного квантования. В оценке (26) мы пренебрегли разницей между величинами a и σ для LO - и SO -фононов. Соотношение (26) имеет место как в сильных, так и в слабых полях. Такое же соотношение справедливо для сил осцилляторов. Таким образом, связанные состояния с SO -фононами должны быть более доступны для наблюдения.

Оценим энергии связи и силы осцилляторов для квантовой ямы GaAs с берегами $\text{Ga}_{0.7}\text{Al}_{0.3}\text{As}$. Прежде всего рассмотрим вопрос о локализации LO -фононов в GaAs. Используя экспериментальные данные, законы дисперсии LO -фононов в GaAs представим следующим образом:

$$\omega(q) = \omega_0 \left[1 - \frac{1}{2} \left(\frac{q}{q_0} \right)^2 \right], \quad (27)$$

$$\omega_0 = 295 \text{ см}^{-1}, \quad q_0 = 1.85 \text{ \AA}^{-1}.$$

Существенные в формировании связанных состояний импульсы фононов $q_{\perp} \leq q_{\parallel}^{-1}$, $q_{\parallel} \leq \pi/d$. Даже в самых сильных полях ($H=200$ кЭ) и узких ямах ($d=25$ Å) имеем $q \leq 0.1$ Å⁻¹, так что $|\omega(q) - \omega_0| \leq 1$ см⁻¹. Между тем GaAs-подобная LO-мода в Ga_{0.7}Al_{0.3}As имеет частоту 284 см⁻¹. Поэтому LO-колебания в GaAs локализованы в яме с высотой стенок $\delta\omega_0 = 11$ см⁻¹, что заметно больше, чем величина дисперсии $|\omega(q) - \omega_0|$. Глубину проникновения LO-колебания GaAs в Ga_{0.7}Al_{0.3}As можно оценить как $q_0^{-1} (\omega_0 \delta\omega_0)^{1/2} \approx 3$ Å. Это означает, что LO-фононы сильно локализованы в квантовой яме.¹ Это вполне согласуется с экспериментальными данными по комбинационному рассеянию [16-18].

При ширине ямы $d=100$ Å расстояние между нижшим и следующим² уровнями поперечного квантования $\Delta E=170$ мэВ, что заметно превышает $\hbar\omega_{LO} = 36$ мэВ. В GaAs $H_0=212$ кЭ, так что обычно $\hbar\omega_{\parallel} \leq \hbar\omega_{LO}$, и поэтому для оценок можно использовать формулы (17). Используя для GaAs $\alpha_{LO}=0.07$, в поле $H=40$ кЭ получаем

$$\begin{aligned} W^+ &= \begin{cases} -0.16 \text{ мэВ,} \\ -0.04 \text{ мэВ,} \end{cases} & f^+ &= \begin{cases} 0.9 \cdot 10^{-3}, \\ 0.9 \cdot 10^{-3}, \end{cases} \\ W^- &= -0.07 \text{ мэВ,} & f^- &= 1.8 \cdot 10^{-3}. \end{aligned} \quad (28)$$

В квантовых ямах хорошего (но не рекордного) качества $\mu=10^5$ В·с/см², что соответствует $\tau=4$ пс и ширине линии $\hbar/\tau=0.15$ мэВ. Поэтому при $H=40$ кЭ и $d=100$ Å связанные состояния (28) вряд ли разрешаются. Однако, увеличив поле до 100 кЭ и ширину ямы до 150 Å, можно увеличить энергии связи и силы осцилляторов на порядок, т. е. получить $W \approx 1$ мэВ и $f \approx 10^{-2}$. Оценим в этих условиях величину поглощения, согласно (16). Полагая $N=2 \cdot 10^{11}$ см⁻², найдем $w=2 \cdot 10^{-3}$. Это значит, что сверхрешетка из 10 слоев дает вполне измеримое поглощение в несколько процентов.

Авторы благодарны М. В. Клейну за ознакомление с результатами работы [16] до ее опубликования.

Л и т е р а т у р а

- [1] Ivanov-Omskii V. I., Korovin L. I., Shereghii E. M. — Phys. St. Sol. (b), 1978, v. 90, N 1, p. 11—32.
- [2] Баканас Р. К., Басс Ф. Г., Левинсон И. Б. — ФТТ, 1978, т. 12, в. 8, с. 1457—1481.
- [3] Басс Ф. Г., Левинсон И. Б. — ЖЭТФ, 1965, т. 49, в. 3 (9), с. 914—924.
- [4] Epck R. C., Salch A. S., Fan H. Y. — Phys. Rev., 1969, v. 182, N 3, p. 790—794.
- [5] Баканас Р. К., Левинсон И. Б., Матулис А. — ЖЭТФ, 1973, т. 64, в. 3, с. 1065—1070.
- [6] Левинсон И. Б., Рапба Э. И. — УФН, 1973, т. 111, в. 4, с. 683—718.
- [7] Levinson Y. B., Rashba E. I. — Rep. Progr. Phys., 1973, v. 36, N 12, p. 1499—1569.
- [8] Daerr A., Kotthaus J. P., Koch J. F. — Sol. St. Commun., 1975, v. 17, N 5, p. 455—458.
- [9] Merke U., Horst M., Evelbauer J., Kotthaus J. P. — Phys. Rev. B, 1986, v. 34, N 10, p. 7234—7245.
- [10] Tsui D. C., Englert Th., Cho A. Y., Gossard A. C. — Phys. Rev. Lett., 1980, v. 44, N 5, p. 341—344.
- [11] Бадалян С. М., Левинсон И. Б. — ЖЭТФ, 1988, т. 94, в. 3, с. 371—379.
- [12] Klein M. V. — IEEE J. Quant. Electron., 1986, v. 22, N 9, p. 1760—1770.
- [13] Lässnig R. — Phys. Rev. B, 1984, v. 30, N 12, p. 7132—7137.
- [14] Коровин Л. И., Эшпулатов Б. Э. — ФТТ, 1979, т. 21, в. 12, с. 3703—3712.
- [15] Каплан Б. И., Левинсон И. Б. — ФТТ, 1972, т. 14, в. 5, с. 1412—1422.
- [16] Jussereand B., Paquet D., Regreny A. — Phys. Rev. B, 1984, v. 30, N 10, p. 6245—6247.
- [17] Colvard C., Gant T. A., Klein M. V., Merlin R., Fisher R., Morkoc H., Gossard A. C. — Phys. Rev. B, 1985, v. 31, N 4, p. 2080—2091.
- [18] Sood A. K., Menendez J., Cardona M., Ploog K. — Phys. Rev. Lett., 1985, v. 54, N 19, p. 2111—2114.

Институт проблем технологии
микроэлектроники и особых
материалов АН СССР
Черноголовка

Получена 25.03.1988
Принята к печати 2.06.1988

¹ Противоположное утверждение, сделанное в [11], ошибочно.